

FIG.1

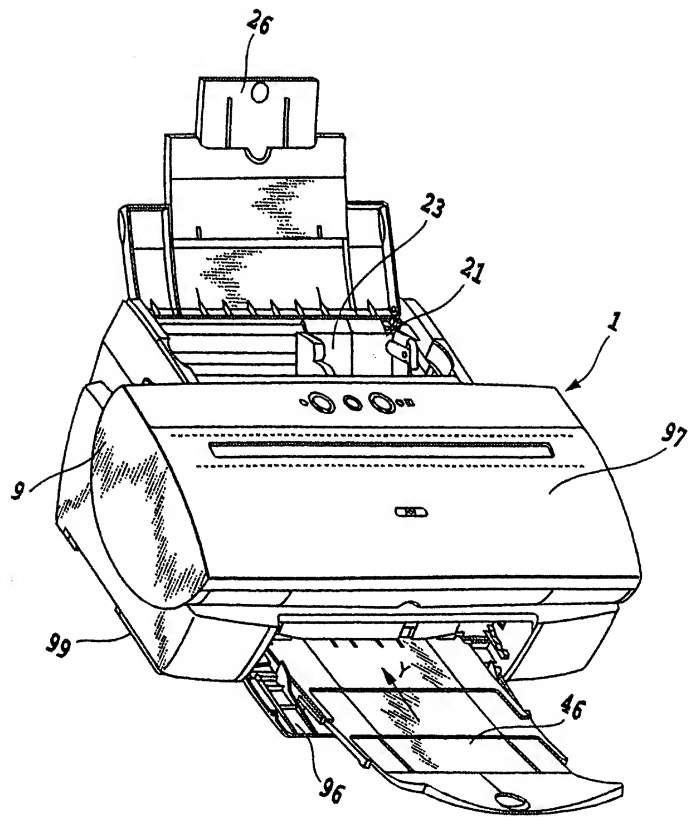


FIG.2

FIG. 3

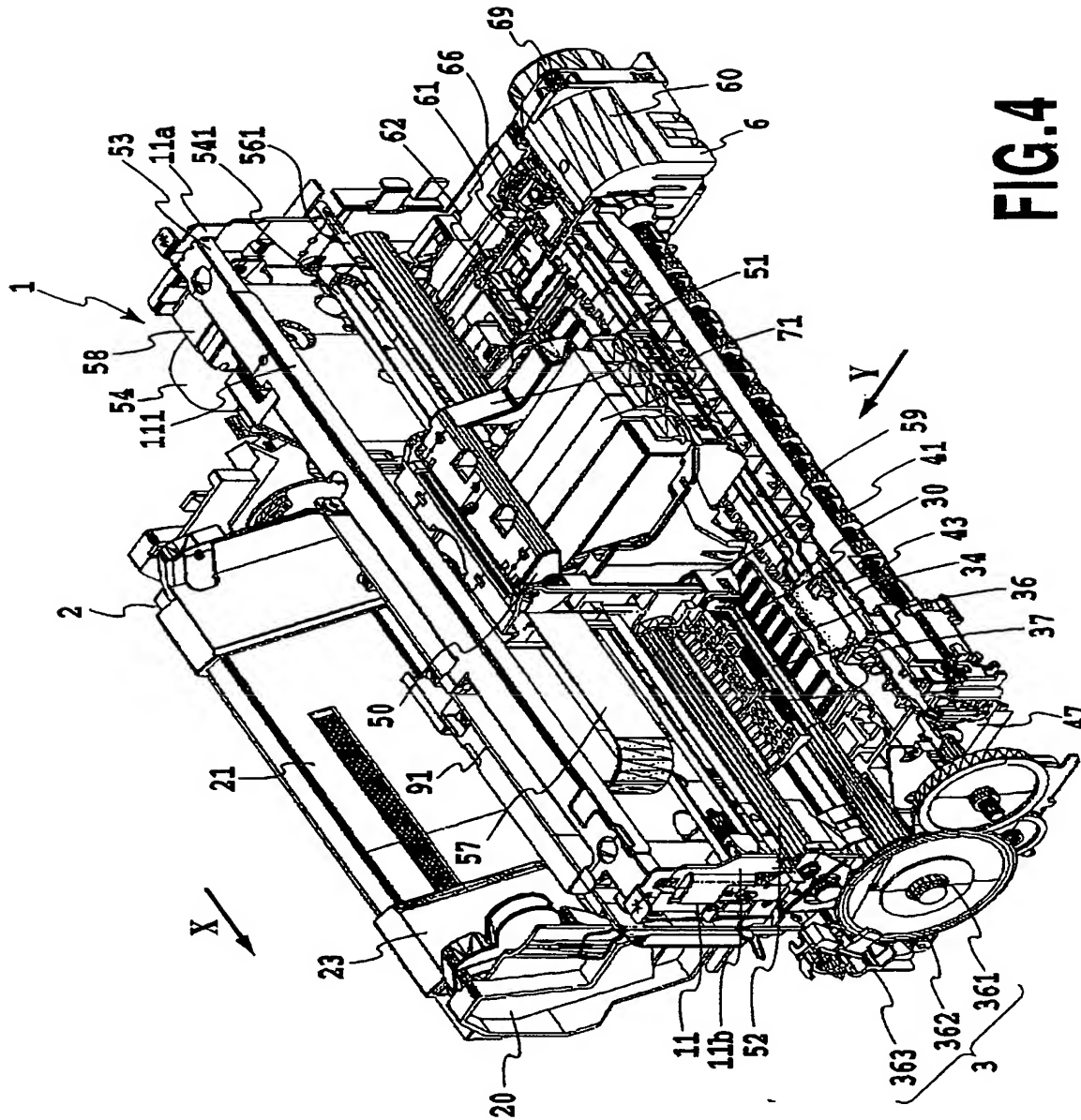


FIG. 4

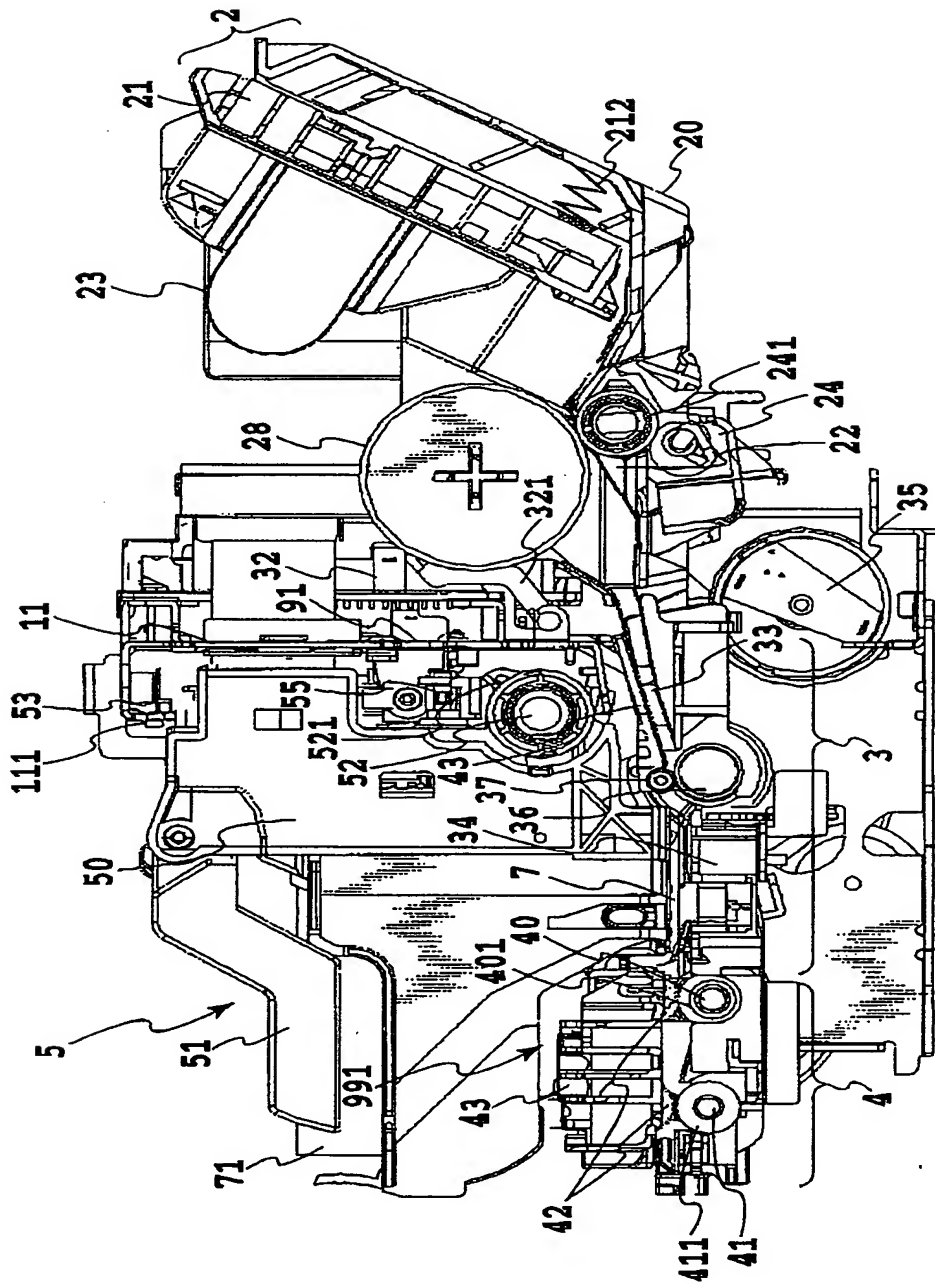
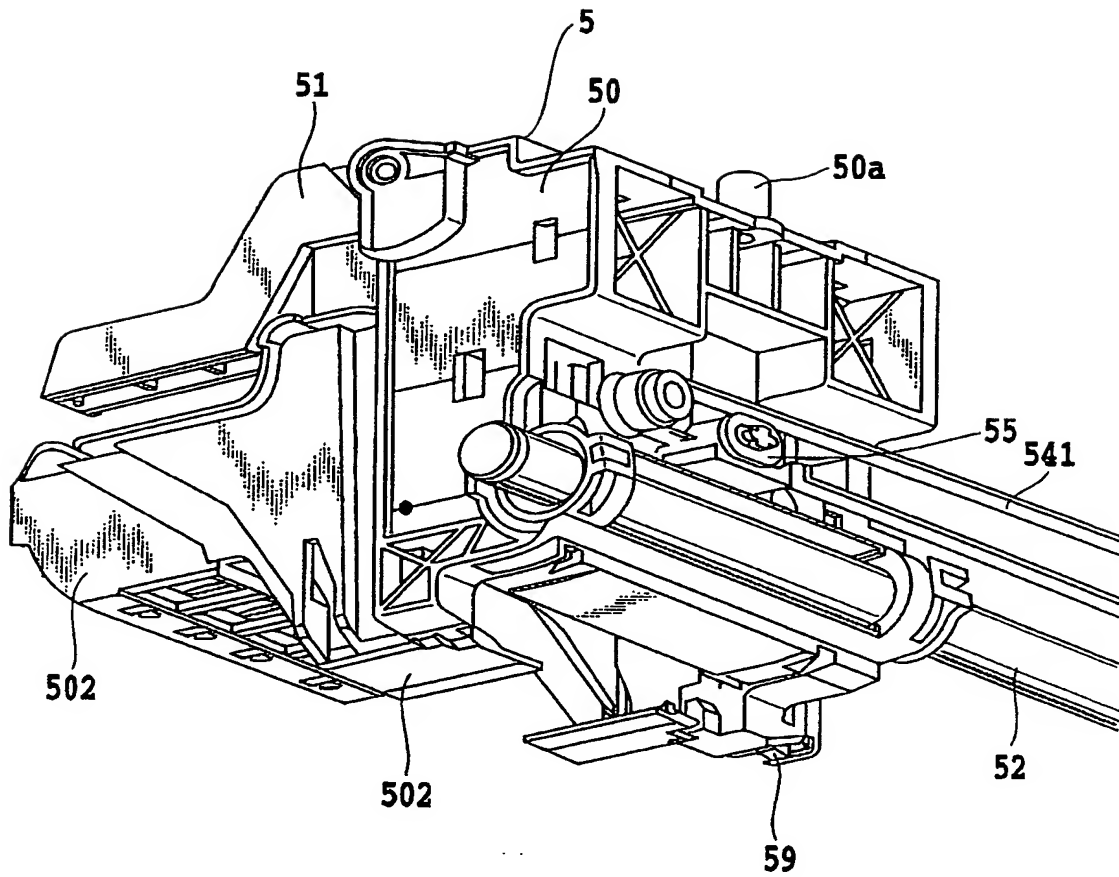


FIG. 5

**FIG.6**

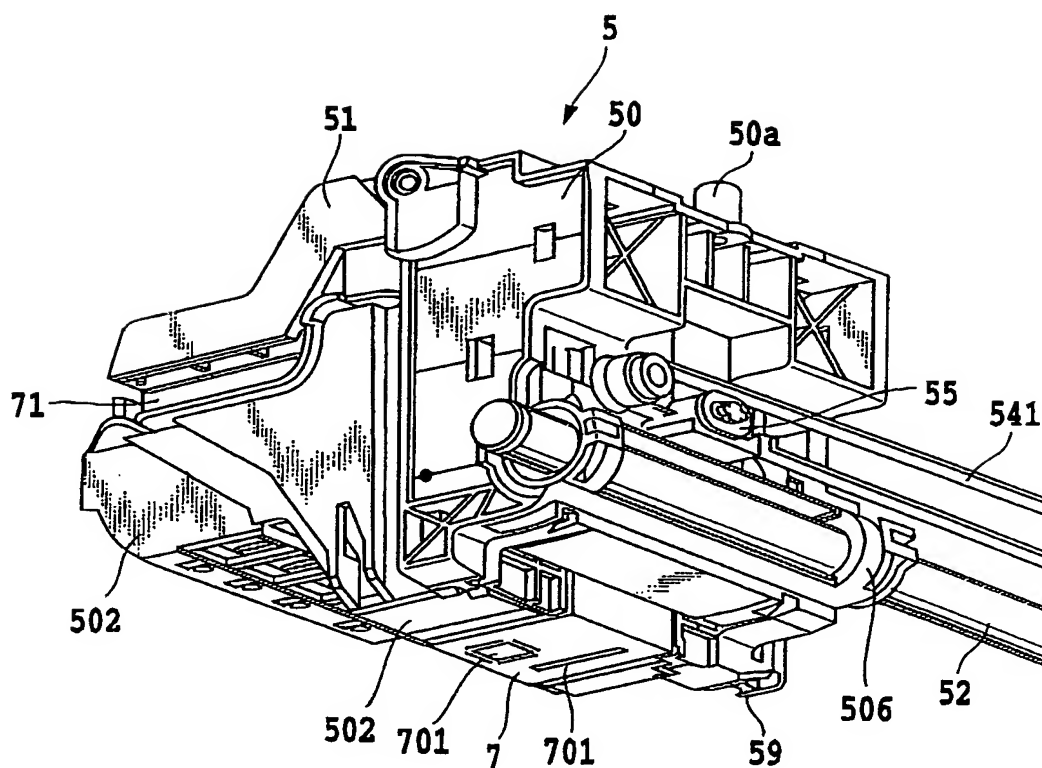


FIG.7

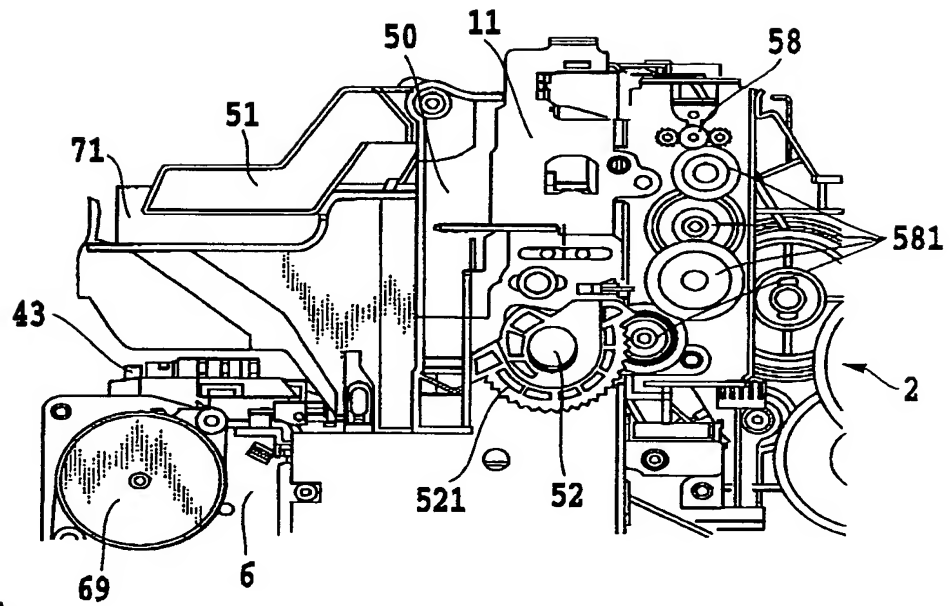


FIG. 8A

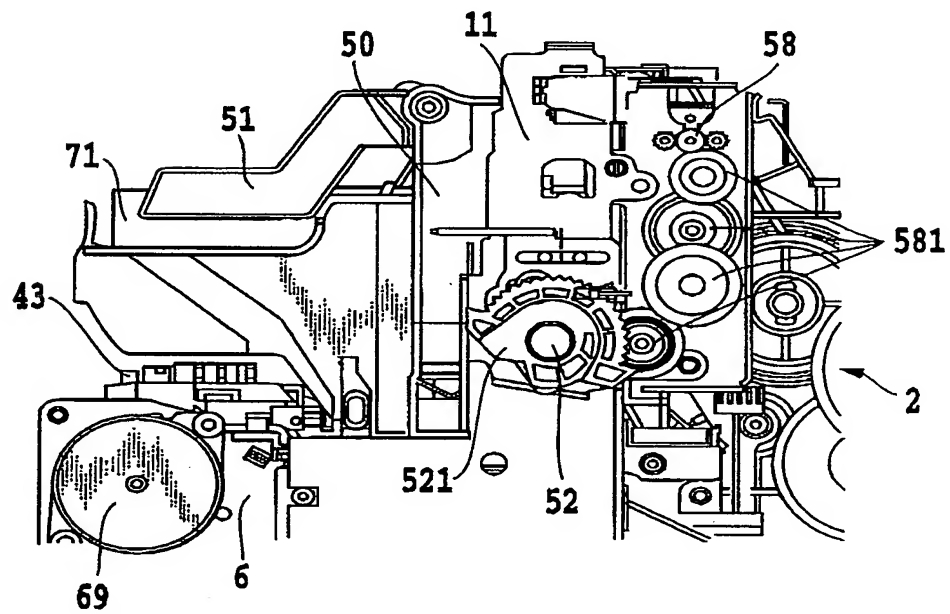


FIG. 8B



DOI: 10.1002/anie.201100000

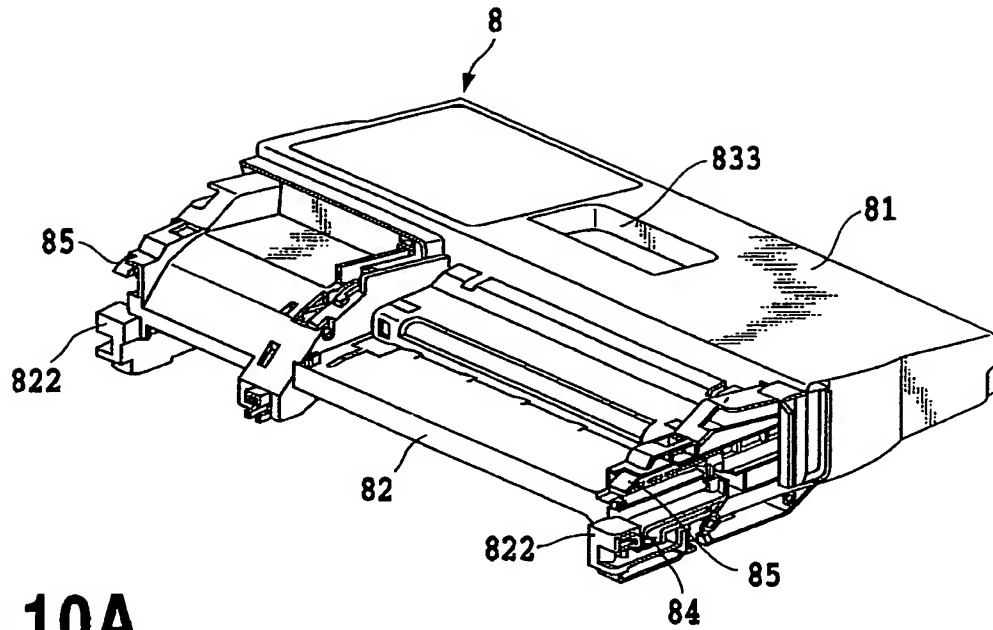


FIG. 10A

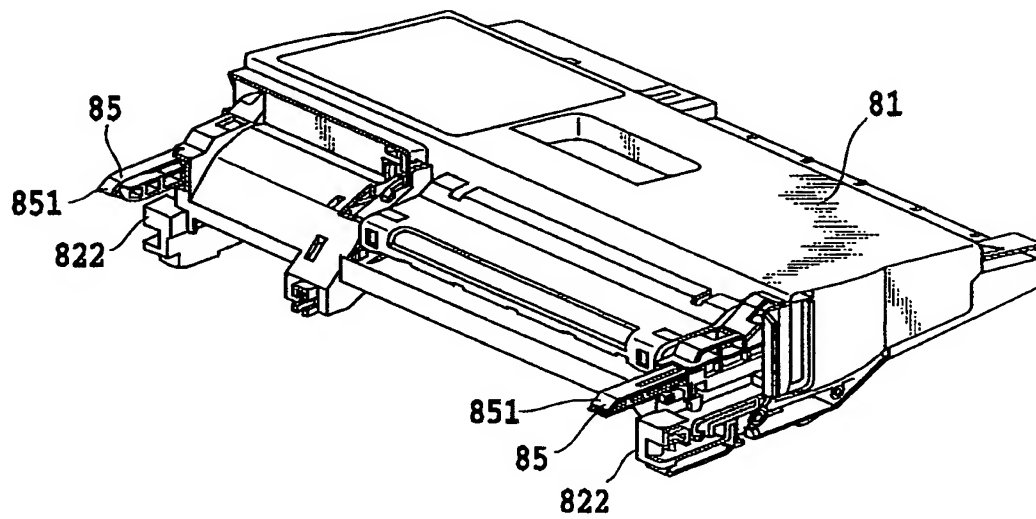


FIG. 10B

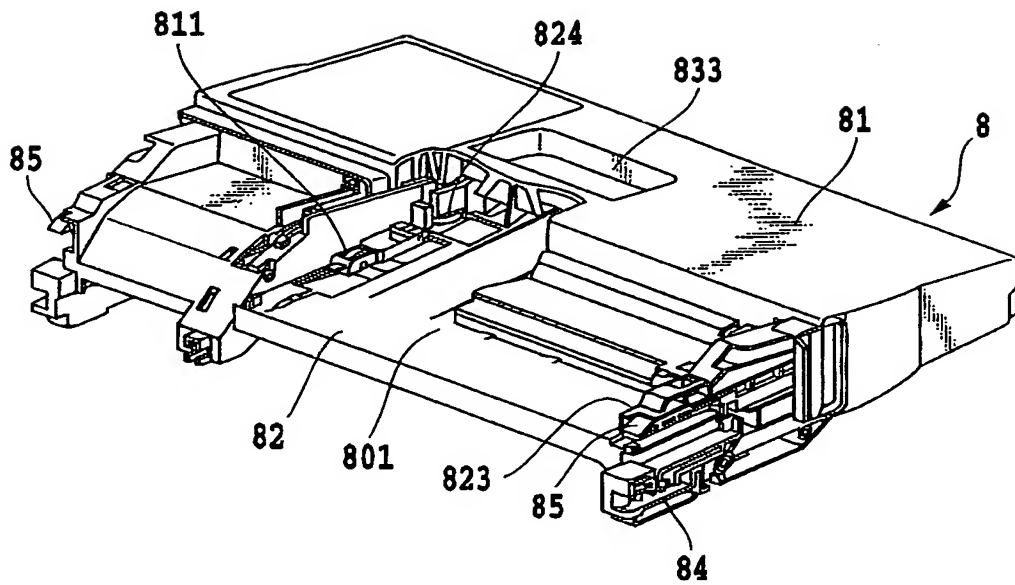


FIG.11

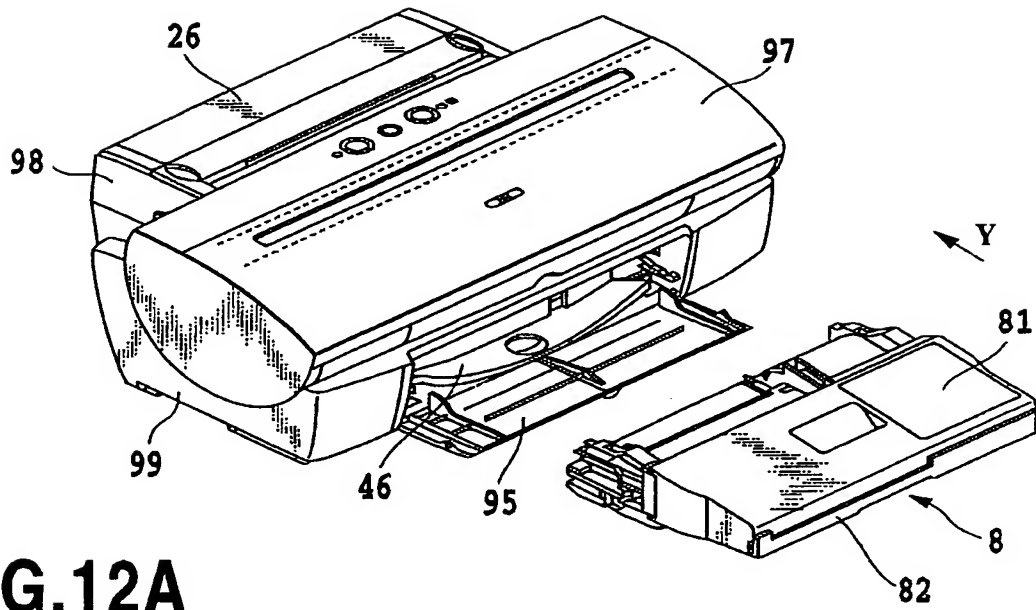


FIG.12A

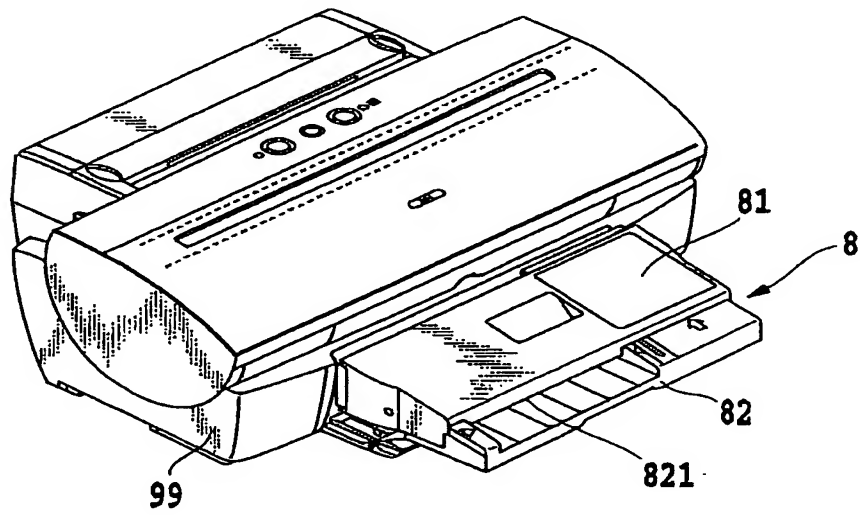


FIG.12B

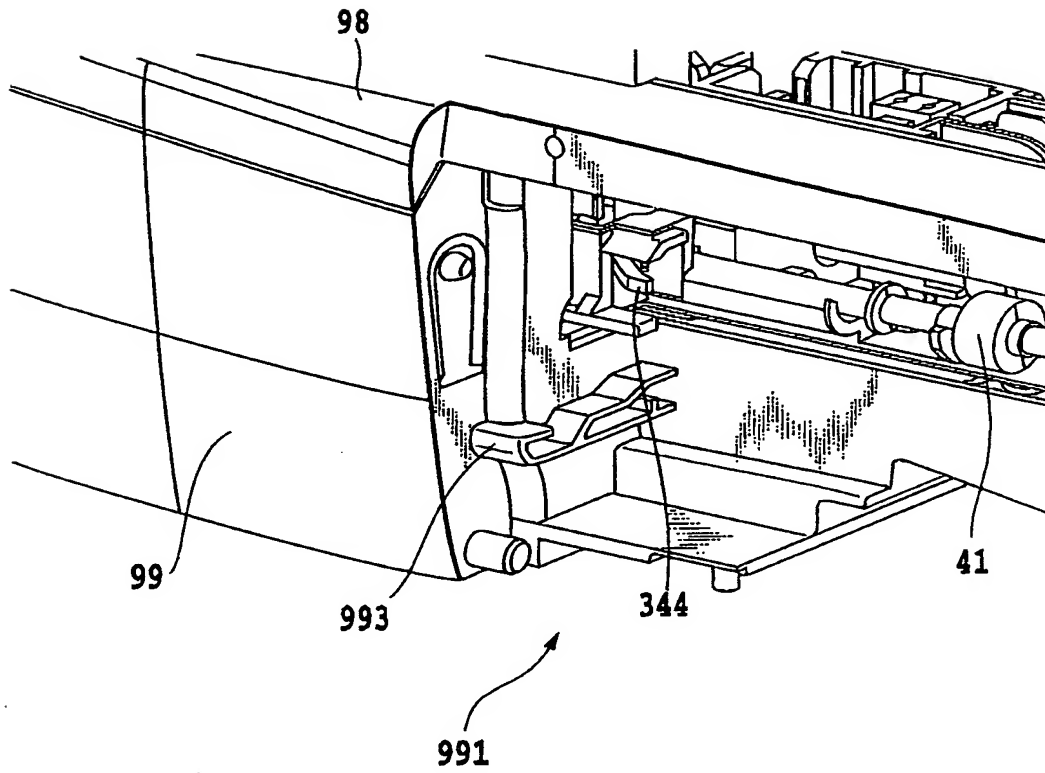


FIG.13

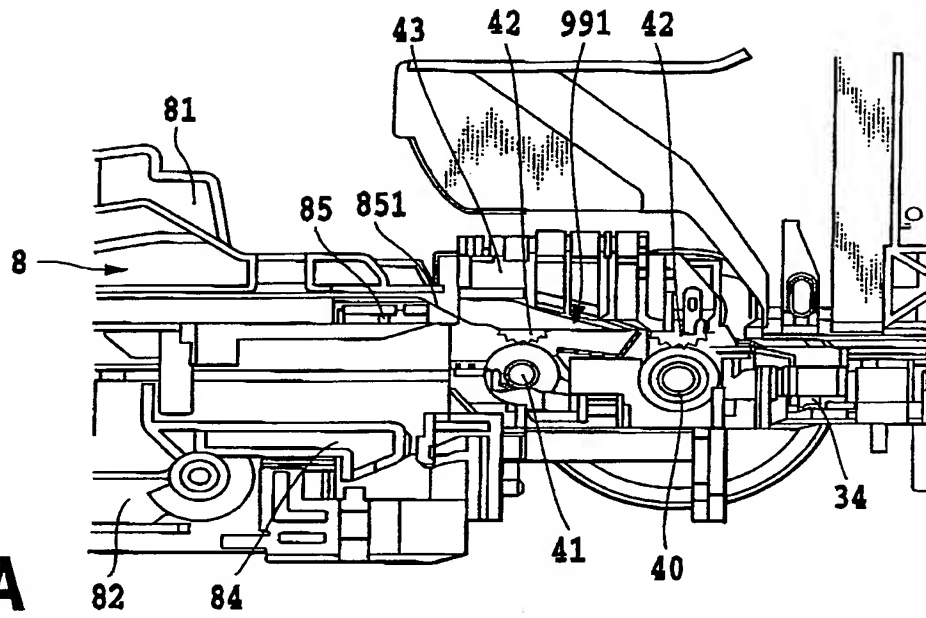


FIG.14A

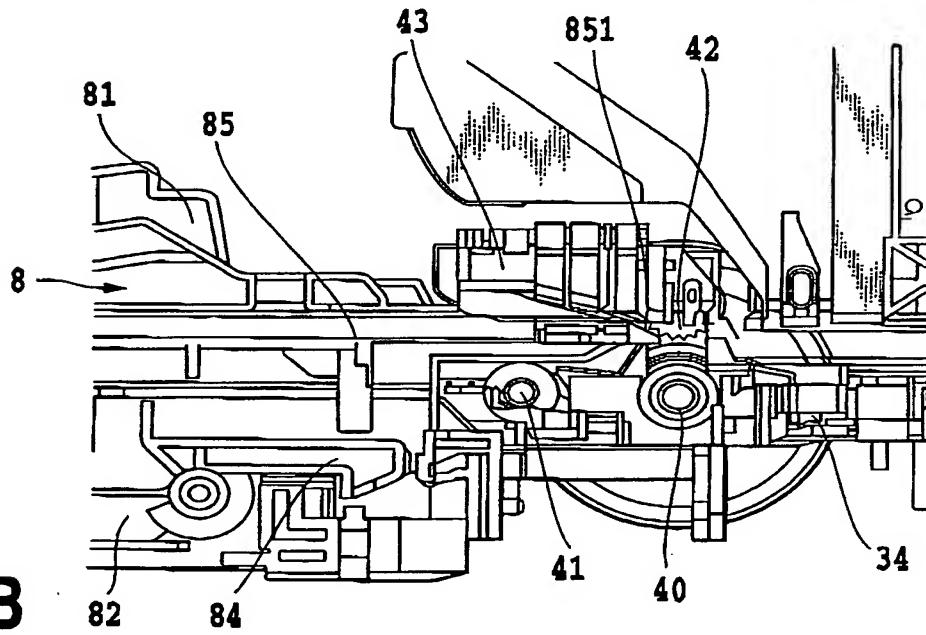
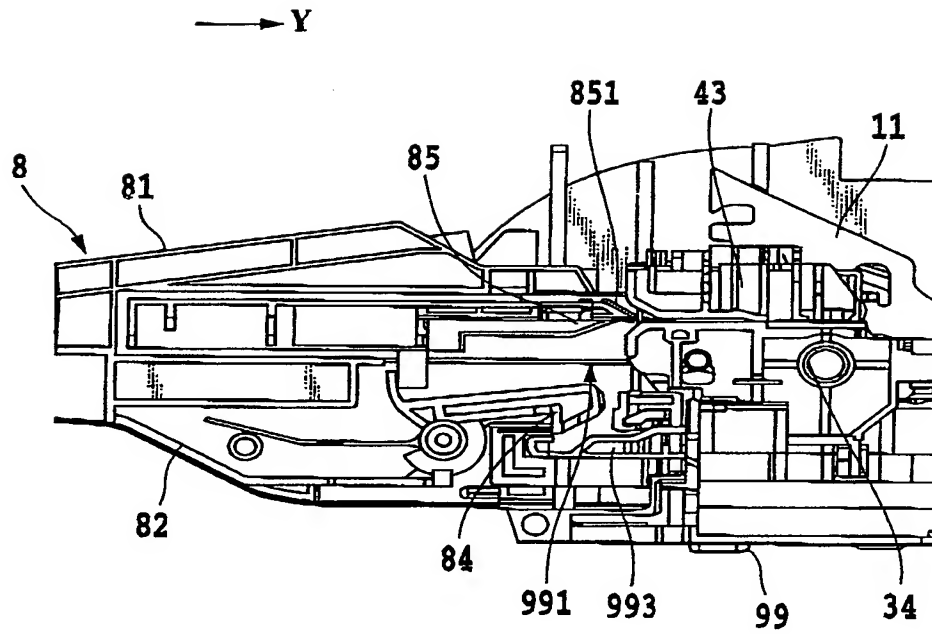


FIG.14B

**FIG.15**

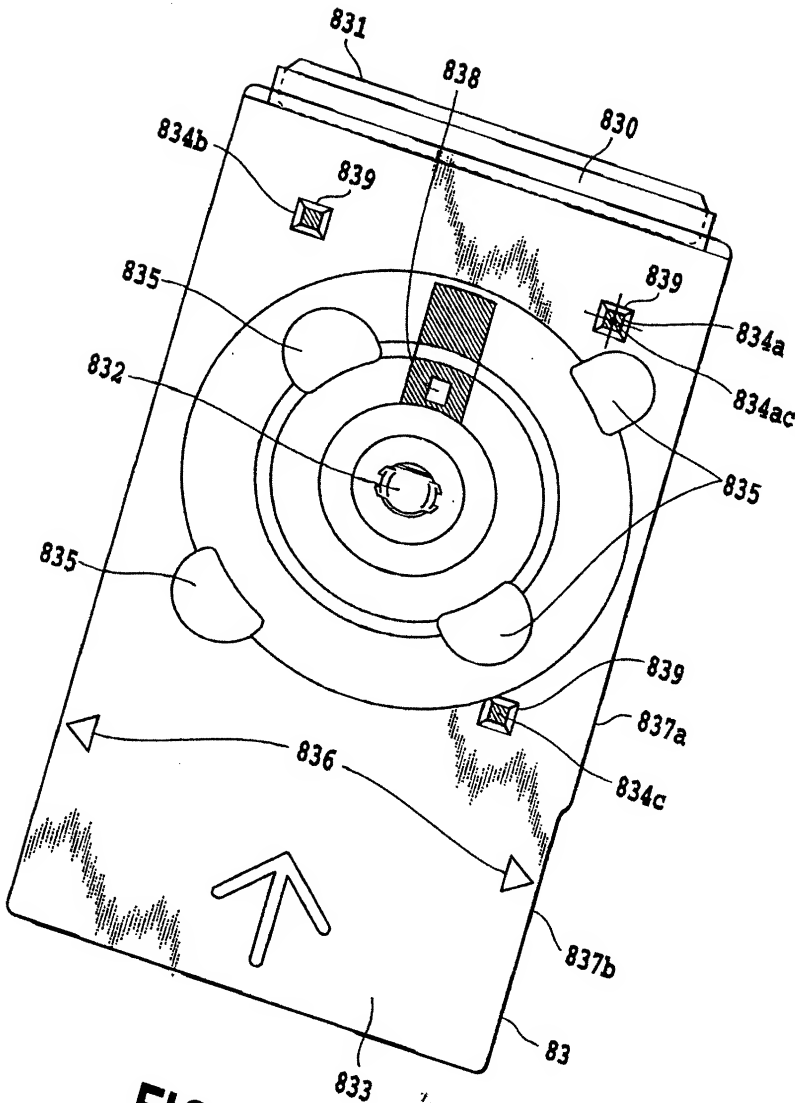


FIG. 16

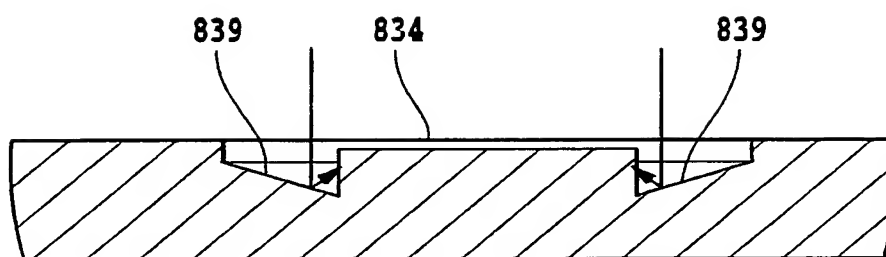


FIG.17

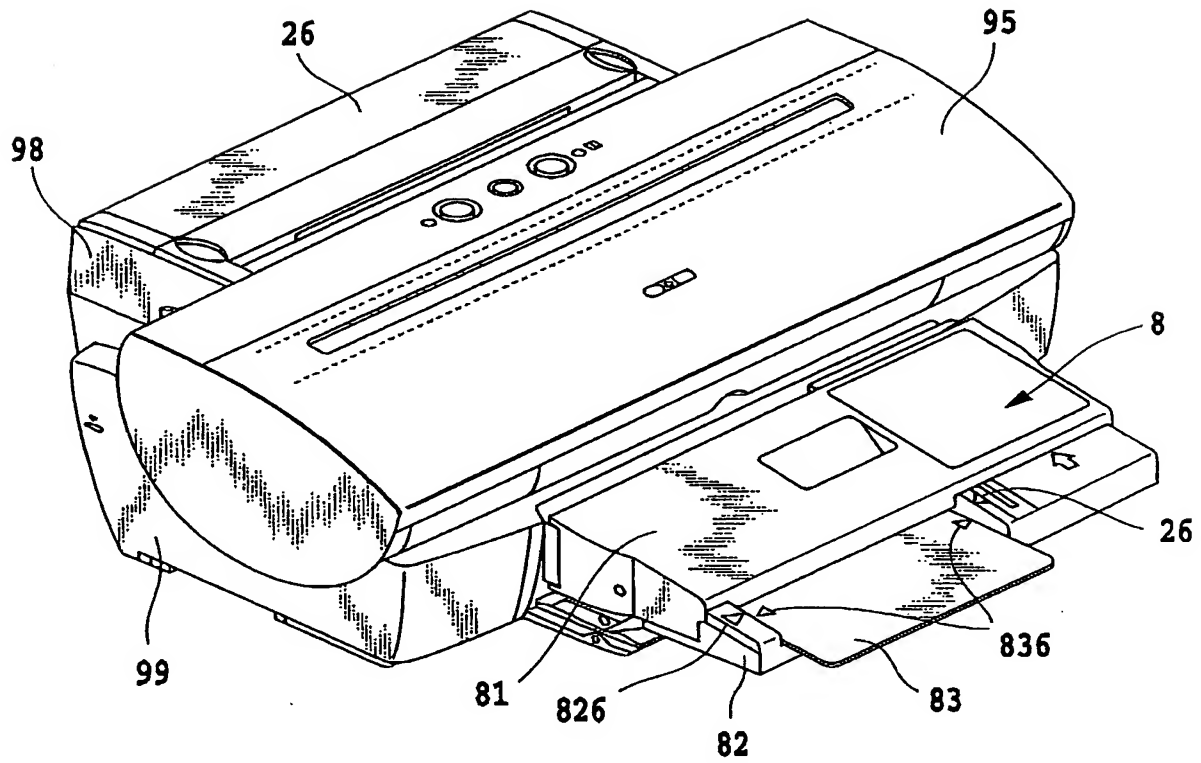


FIG.18

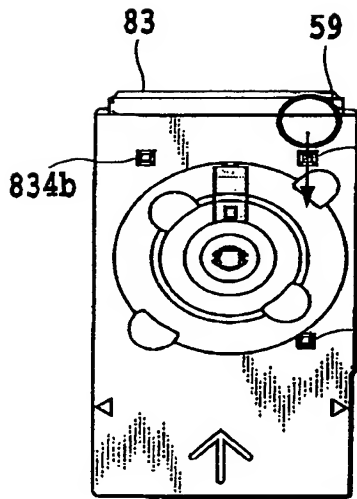


FIG. 19A

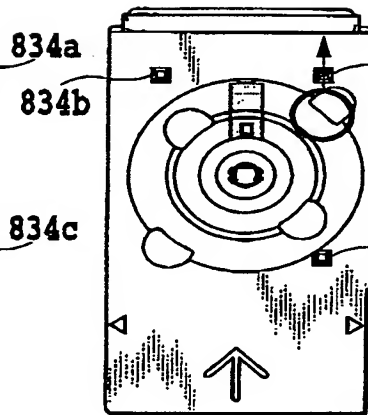


FIG. 19B

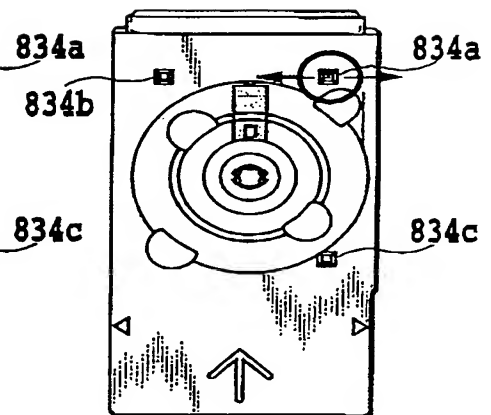


FIG. 19C

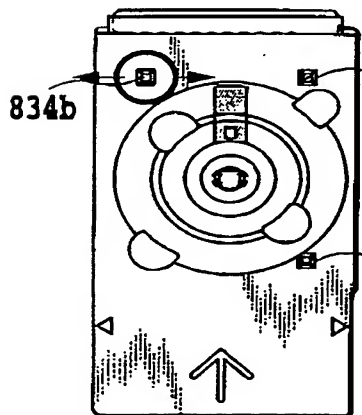


FIG. 19D

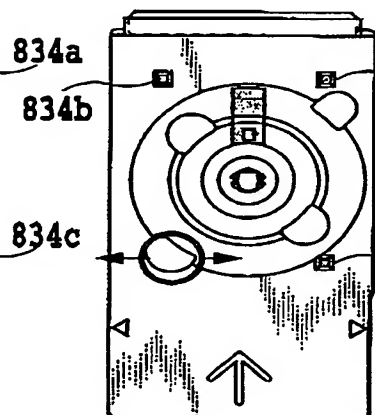


FIG. 19E

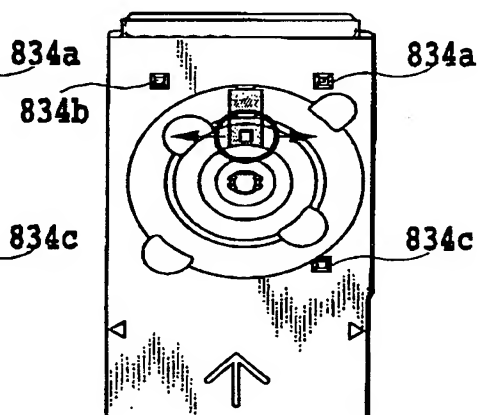


FIG. 19F

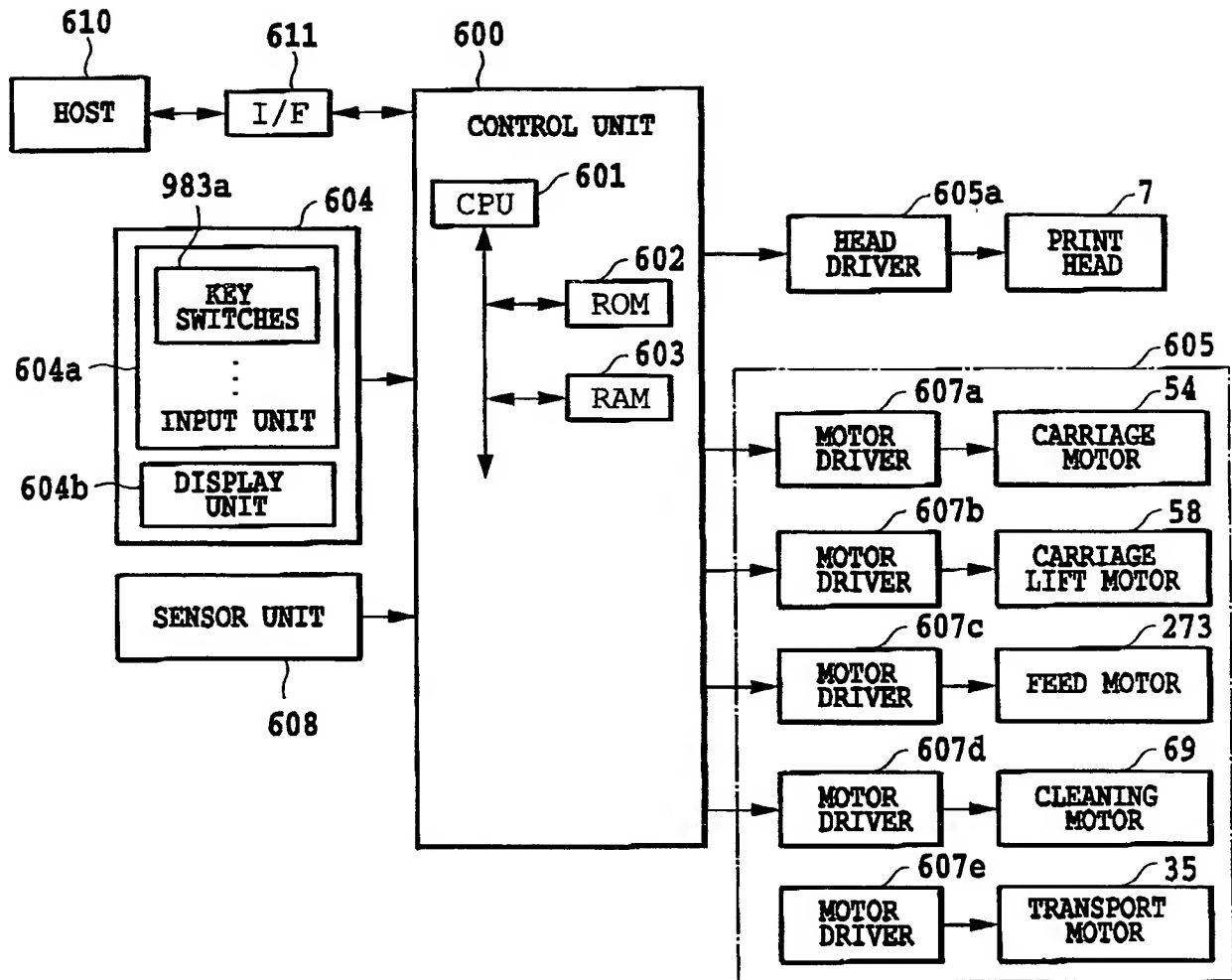


FIG.20

FIG.21

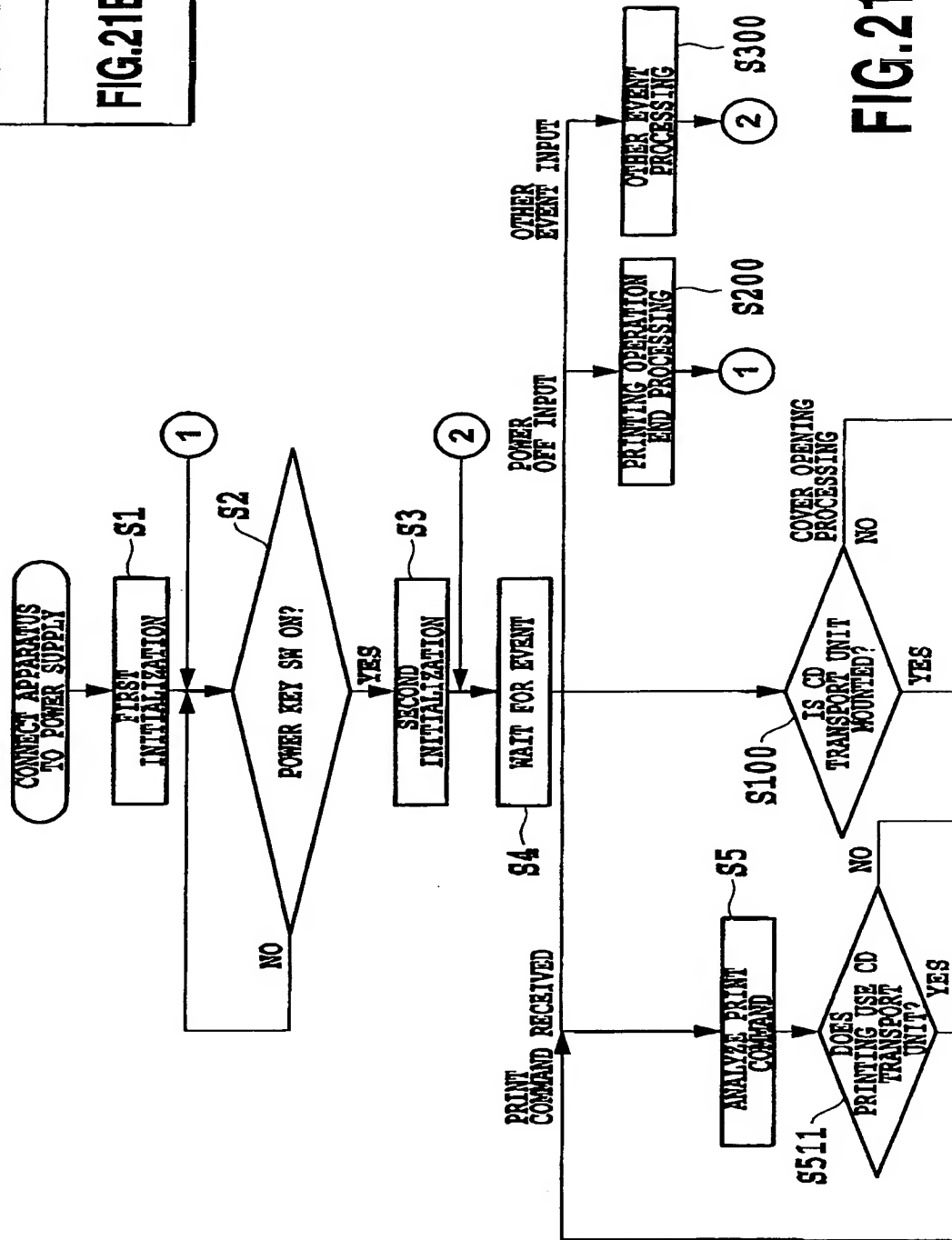
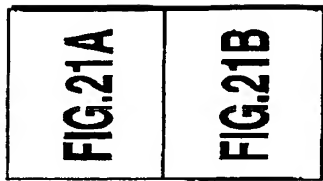


FIG.21A

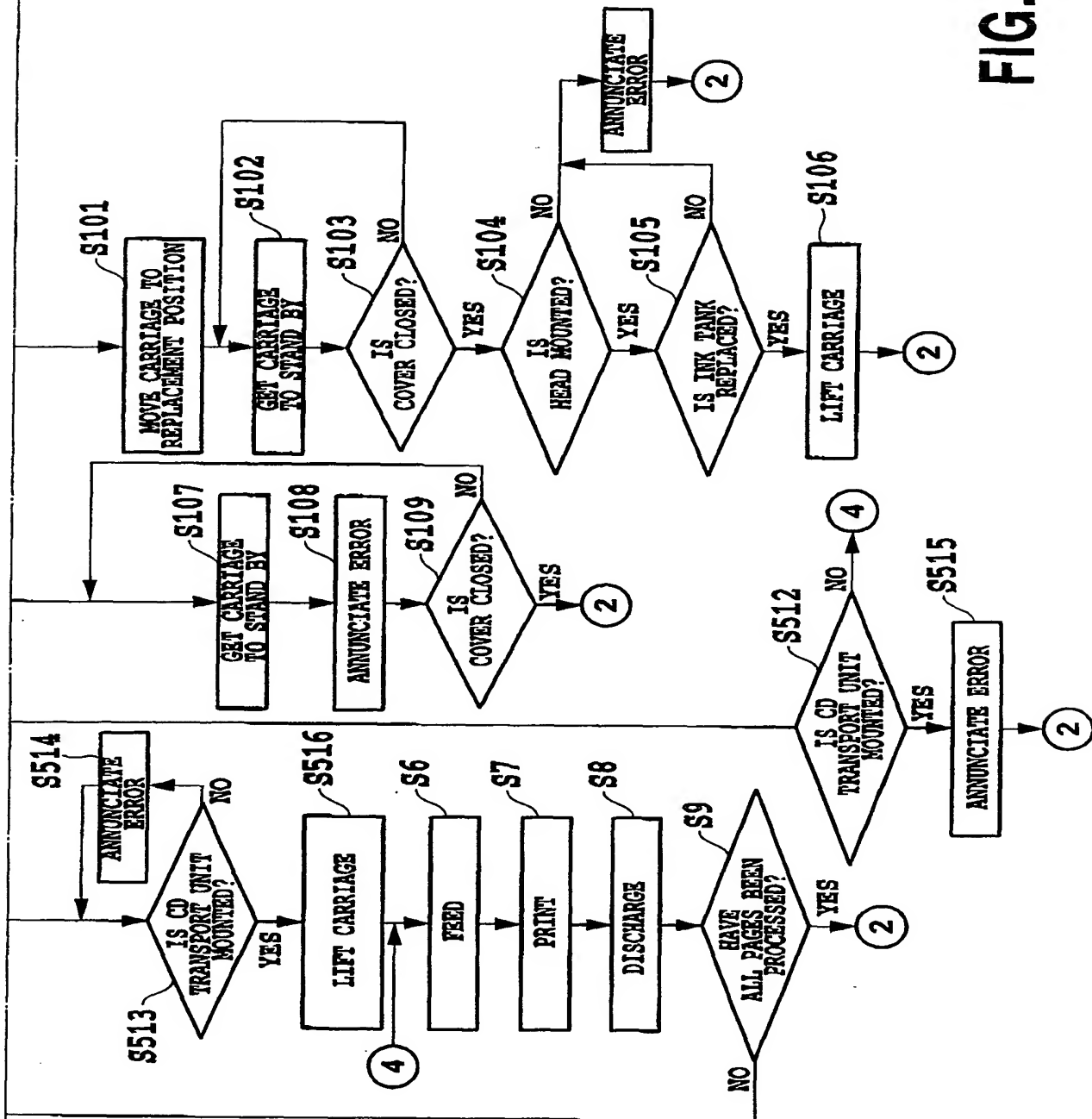


FIG.21B

FIG.22

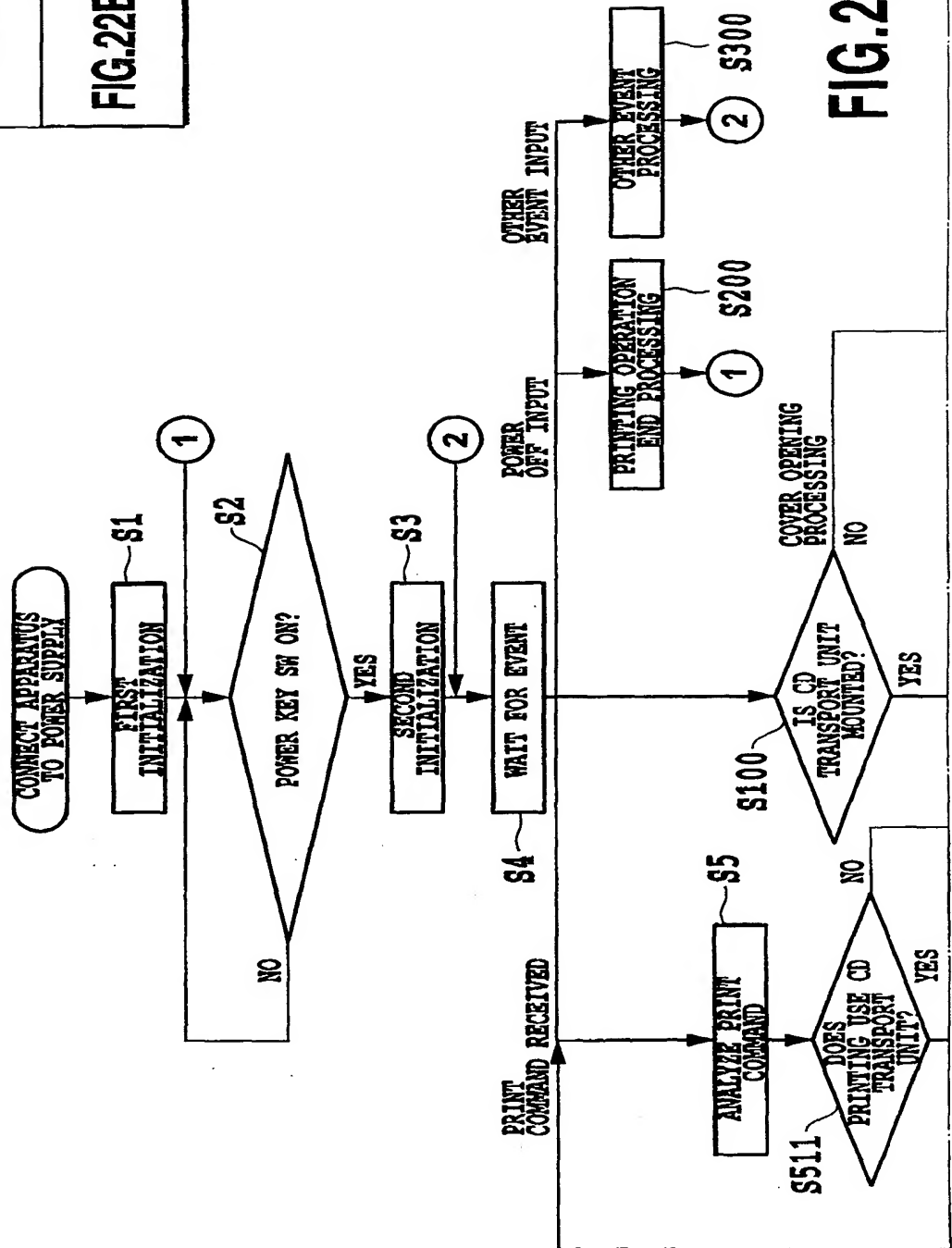
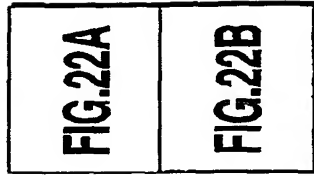


FIG.22A

FIG. 22B

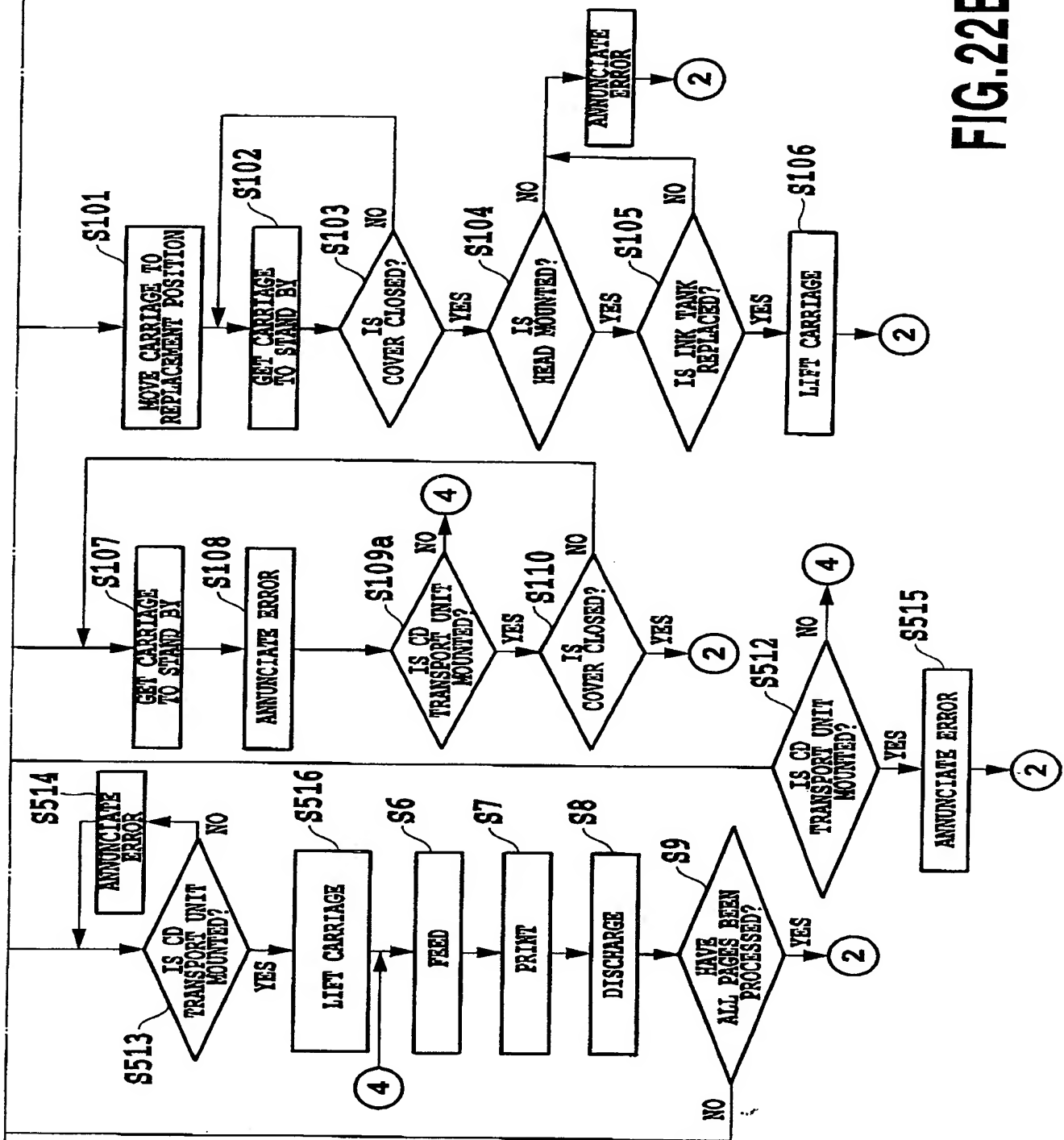


FIG.23

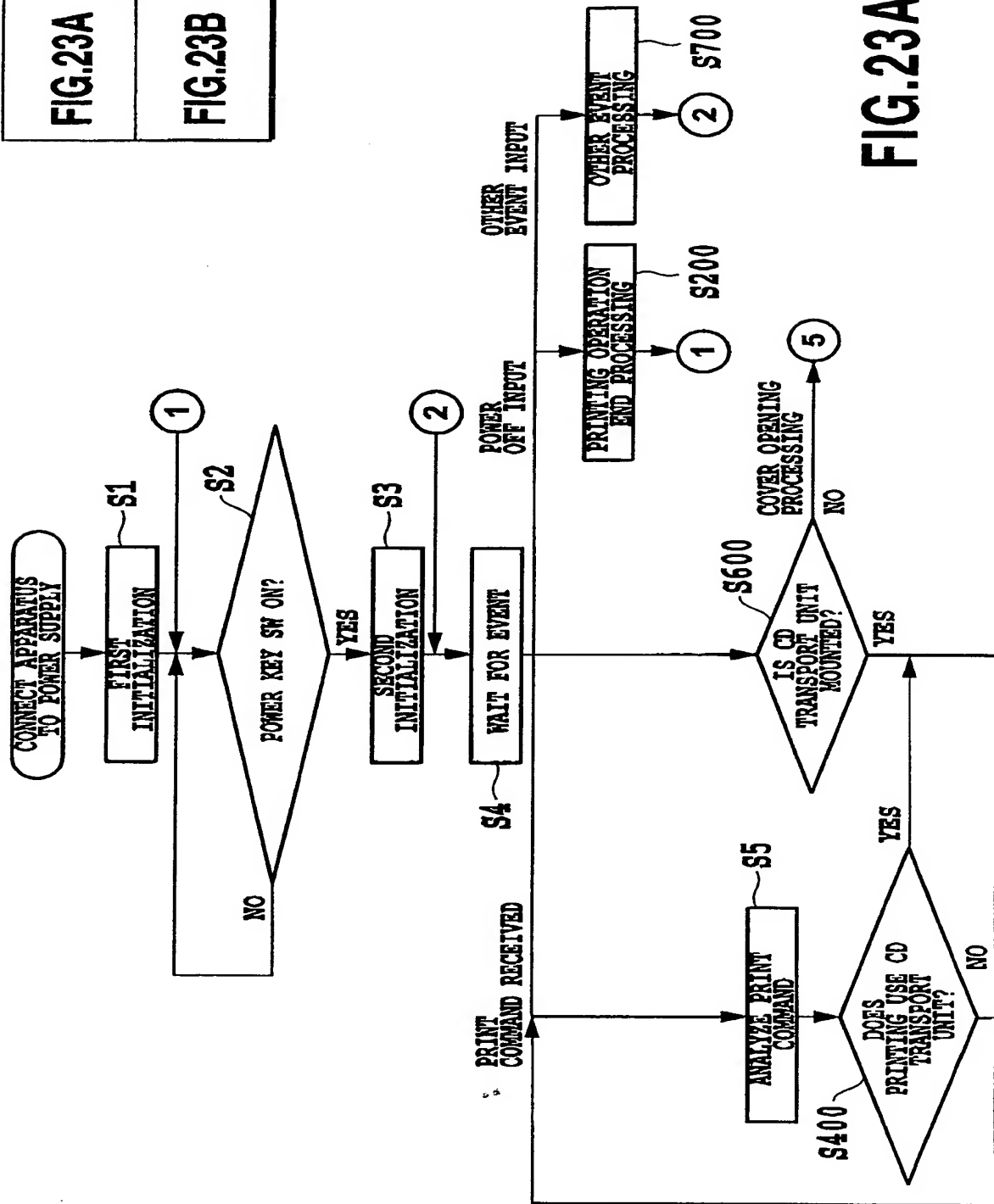
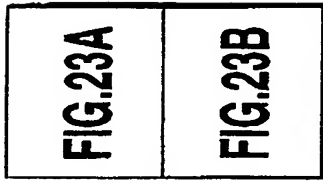


FIG.23A

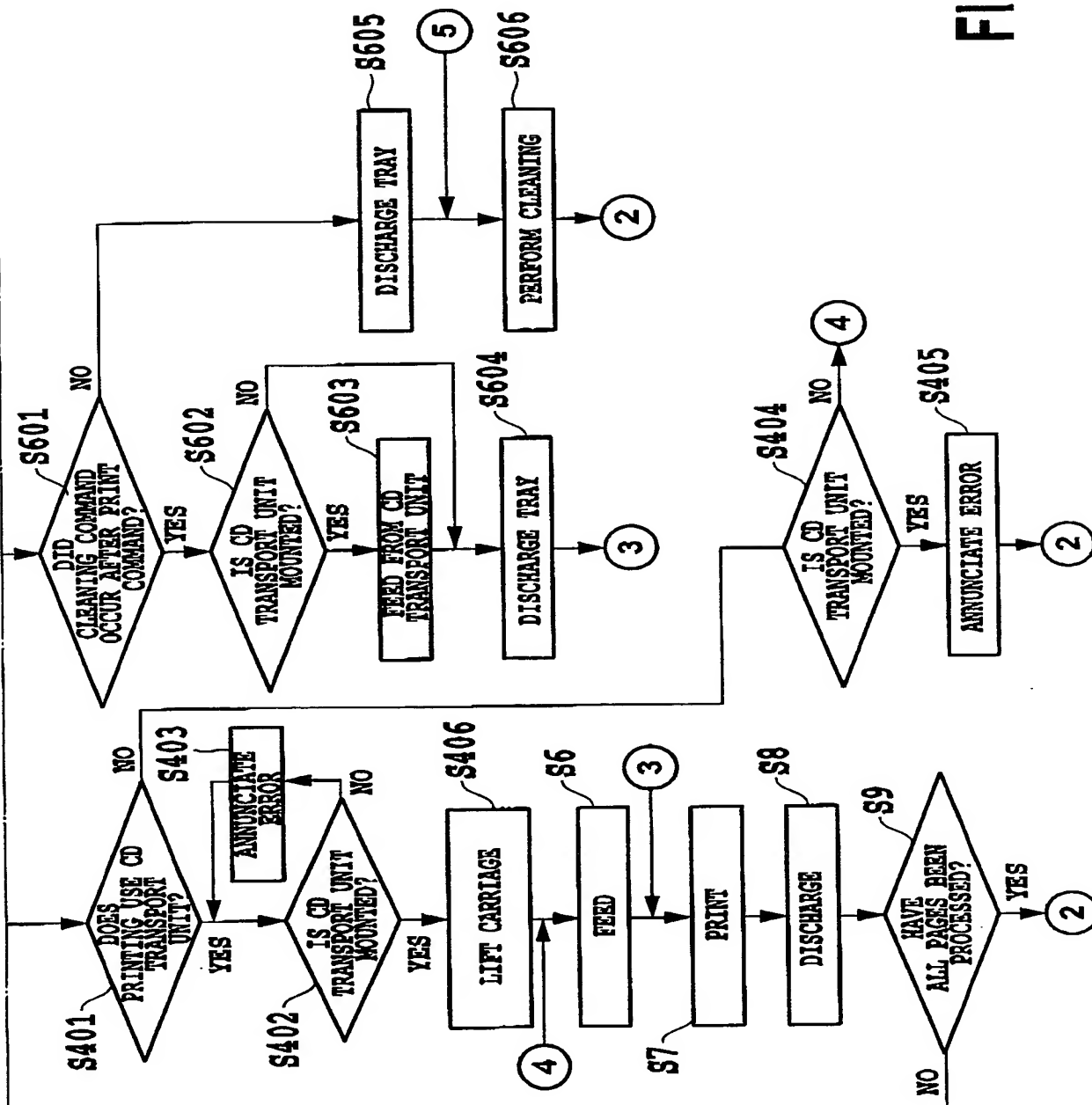


FIG. 23B